

# Méthodes de différences finies pour la propagation d'ondes mécaniques transitoires en présence d'interfaces

Bruno Lombard

Laboratoire de Mécanique et d'Acoustique (UPR CNRS), Marseille

NACHOS, 11 décembre 2007

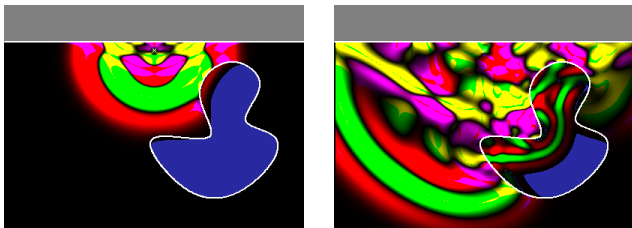
<http://w3lma.cnrs-mrs.fr/~MI/>

# Première partie I

## Introduction

### Cadre de travail :

- propagation d'**ondes mécaniques** dans le domaine temporel
- **fluides** parfaits, **solides** (élastiques, viscoélastiques, poroélastiques) isotropes
- **interfaces** fixes de formes quelconques (régulières)

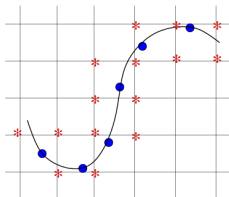


### Difficultés des différences finies :

- **géométriques** : description d'interfaces de formes quelconques sur maillage cartésien régulier, tout en évitant les diffractions parasites
- **physiques** : prise en compte des conditions de saut dans des schémas construits en milieu homogène
- **numériques** : maintenir les propriétés de convergence et de stabilité qu'ont les schémas en milieu homogène

### Méthodes d'interface immergée :

- schéma classique de DF loin des interfaces
- nouveau schéma près des interfaces (\*)
- conditions de saut sur l'interface (●)



### Bref historique :

- Peskin (1977) : Immersed Boundary Method
- LeVeque, Li, Zhang (1994, 1996) : Immersed Interface Method
- Piraux, Lombard (2001 à nos jours) : Explicit Simplified Interface Method

### Plan de l'exposé :

- section 2 : fluide parfait 1D
- section 3 : fluide-solide 2D
- section 4 : catalogue
- section 5 : conclusion

## Deuxième partie II

# Fluide parfait 1D

Lois de conservation :

- inconnues :  $v$  vitesse acoustique,  $p$  pression acoustique
- paramètres :  $\rho$  (masse volumique),  $c$  (célérité des ondes)
- on pose

$$\mathbf{U} = \begin{pmatrix} v \\ p \end{pmatrix}, \quad \mathbf{A} = \begin{pmatrix} 0 & \frac{1}{\rho} \\ \rho c^2 & 0 \end{pmatrix}$$

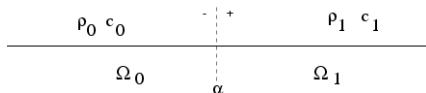
- système **hyperbolique** linéaire du 1er ordre

$$\begin{cases} \frac{\partial}{\partial t} \mathbf{U} + \mathbf{A} \frac{\partial}{\partial x} \mathbf{U} = \mathbf{0} \\ \mathbf{U}(x, 0) = \mathbf{U}_0(x) \in C^p(\mathbb{R}) \end{cases}$$

- propriété

$$\frac{\partial^{2n}}{\partial t^{2n}} \mathbf{U} = c^{2n} \frac{\partial^{2n}}{\partial x^{2n}} \mathbf{U}, \quad n \geq 1$$

$$\frac{\partial^{2n+1}}{\partial t^{2n+1}} \mathbf{U} = -c^{2n} \mathbf{A} \frac{\partial^{2n+1}}{\partial x^{2n+1}} \mathbf{U}, \quad n \geq 0$$

Conditions de saut :

- conditions de saut d'**ordre 0**

$$\left. \begin{array}{l} [v(\alpha, t)] = 0, \\ [\rho(\alpha, t)] = 0 \end{array} \right\} \Rightarrow [\mathbf{U}(\alpha, t)] = \mathbf{0}$$

- dérivation par rapport à  $t$  (interface immobile)

$$\frac{\partial^m}{\partial t^m} [\mathbf{U}(\alpha, t)] = \left[ \frac{\partial^m}{\partial t^m} \mathbf{U}(\alpha, t) \right] = \mathbf{0}$$

- lois de conservation

$$\frac{\partial^m}{\partial t^m} \mathbf{U}(x, t) = \mathbf{C}_m \frac{\partial^m}{\partial x^m} \mathbf{U}(x, t)$$

- $\mathbf{U}_0(x) \in C^p(\mathbb{R}) \Rightarrow$  conditions de saut d'**ordre  $m \leq p$**

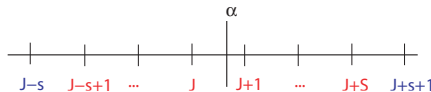
$$\mathbf{D}_m = (\mathbf{C}_m^1)^{-1} \mathbf{C}_m^0 \Rightarrow \boxed{\frac{\partial^m}{\partial x^m} \mathbf{U}(\alpha^+, t) = \mathbf{D}_m \frac{\partial^m}{\partial x^m} \mathbf{U}(\alpha^-, t)}$$

Schéma numérique :

- $\mathbf{U}_i^n \approx \mathbf{U}(x_i = i \Delta x, t_n = n \Delta t)$
- schéma explicite à deux pas de temps, stencil centré à  $2s + 1$  points

$$\mathbf{U}_i^{n+1} = \mathbf{H}(\mathbf{U}_{i-s}^n, \dots, \mathbf{U}_{i+s}^n)$$

- exemples : Lax-Wendroff ( $s = 1, r = 2$ ), **ADER 4** ( $s = 2, r = 4$ ), ...

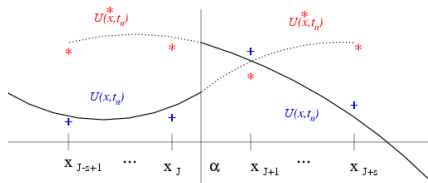
Deux sous-ensembles de points :

- points **réguliers** : le stencil appartient à un seul milieu
- points **irréguliers** : le stencil coupe  $\alpha$  ( $x_{J-s+1}, \dots, x_{J+s}$ )  
 $\Rightarrow$  modification du schéma en ces points (**méthode d'interface immergée**)



Principe :

- intégration aux **points irréguliers**  $x_{J-s+1}, \dots, x_{J+s}$
- pas de modification du schéma **H** au voisinage de  $\alpha$
- **modification** des valeurs utilisées pour l'intégration numérique

Valeur modifiée :

- estimations de prolongements réguliers de la solution de l'autre côté de  $\alpha$

$$\alpha \leq x \leq x_{J+s}, \quad \mathbf{U}^*(x, t_n) = \sum_{m=0}^{2k-1} \frac{(x - \alpha)^m}{m!} \frac{\partial^m}{\partial x^m} \mathbf{U}(\alpha^-, t_n),$$

$$x_{J-s+1} \leq x \leq \alpha, \quad \mathbf{U}^*(x, t_n) = \sum_{m=0}^{2k-1} \frac{(x - \alpha)^m}{m!} \frac{\partial^m}{\partial x^m} \mathbf{U}(\alpha^+, t_n).$$

- problème : estimer  $\frac{\partial^m}{\partial x^m} \mathbf{U}(\alpha^\pm, t_n)$

Calcul des valeurs modifiées (ex: à droite de  $\alpha$ )

- développements de Taylor en  $\alpha^\pm$  + conditions de saut en  $\alpha$

$$J - k + 1 \leq i \leq J, \quad \mathbf{U}(x_i, t_n) = \sum_{m=0}^{2k-1} \frac{(x_i - \alpha)^m}{m!} \frac{\partial^m}{\partial x^m} \mathbf{U}(\alpha^-, t_n) + \mathbf{O}(\Delta x^{2k})$$

$$\begin{aligned} J + 1 \leq i \leq J + k, \quad \mathbf{U}(x_i, t_n) &= \sum_{m=0}^{2k-1} \frac{(x_i - \alpha)^m}{m!} \frac{\partial^m}{\partial x^m} \mathbf{U}(\alpha^+, t_n) + \mathbf{O}(\Delta x^{2k}) \\ &= \sum_{m=0}^{2k-1} \frac{(x_i - \alpha)^m}{m!} \mathbf{D}_m \frac{\partial^m}{\partial x^m} \mathbf{U}(\alpha^-, t_n) + \mathbf{O}(\Delta x^{2k}) \end{aligned}$$

- écriture matricielle

$$\begin{pmatrix} \mathbf{U}(x_{J-k+1}, t_n) \\ \vdots \\ \mathbf{U}(x_{J+k}, t_n) \end{pmatrix} = \mathbf{M} \begin{pmatrix} \mathbf{U}(\alpha^-, t_n) \\ \vdots \\ \frac{\partial^{2k-1}}{\partial x^{2k-1}} \mathbf{U}(\alpha^-, t_n) \end{pmatrix} + \begin{pmatrix} \mathbf{O}(\Delta x^{2k}) \\ \vdots \\ \mathbf{O}(\Delta x^{2k}) \end{pmatrix}$$

- estimations numériques

$$\begin{pmatrix} \mathbf{U}^- \\ \vdots \\ \frac{\partial^{2k-1}}{\partial x^{2k-1}} \mathbf{U}^- \end{pmatrix} = \mathbf{M}^{-1} \begin{pmatrix} \mathbf{U}_{J-k+1}^n \\ \vdots \\ \mathbf{U}_{J+k}^n \end{pmatrix}$$

Calcul des valeurs modifiées (suite et fin) :

- à droite de  $\alpha$ ,

$$\mathbf{U}^*(x, t_n) = \sum_{m=0}^{2k-1} \frac{(x - \alpha)^m}{m!} \frac{\partial^m}{\partial x^m} \mathbf{U}(\alpha^-, t_n)$$

- d'où la valeur modifiée "à droite" ( $i = J, \dots, J + s$ )

$$\mathbf{U}_i^* = \left( \mathbf{I}_2 \dots \frac{(x_i - \alpha)^{2k-1}}{(2k-1)!} \mathbf{I}_2 \right) \mathbf{M}^{-1} \begin{pmatrix} \mathbf{U}_{J-k+1}^n \\ \vdots \\ \mathbf{U}_{J+k}^n \end{pmatrix}$$

Utilisation des valeurs modifiées

- aux points **réguliers**

$$\mathbf{U}_i^{n+1} = \mathbf{H}(\mathbf{U}_{i-s}^n, \dots, \mathbf{U}_{i+s}^n)$$

- aux points **irréguliers**

$$J - s + 1 \leq i \leq J, \quad \mathbf{U}_i^{n+1} = \mathbf{H}_0(\mathbf{U}_{i-s}^n, \dots, \mathbf{U}_J^n, \mathbf{U}_{J+1}^*, \dots, \mathbf{U}_{i+s}^*)$$

$$J + 1 \leq i \leq J + s, \quad \mathbf{U}_i^{n+1} = \mathbf{H}_1(\mathbf{U}_{i-s}^*, \dots, \mathbf{U}_J^*, \mathbf{U}_{J+1}^n, \dots, \mathbf{U}_{i+s}^n)$$

- exemple ( $i = J, s = 2$ )



Remarques :

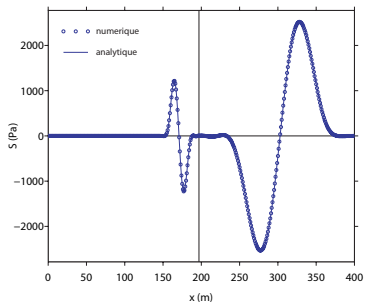
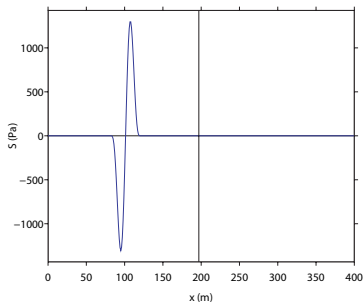
- algorithme **simple** :  $\mathbf{U}^*$  indépendants de  $\mathbf{H}$  (schéma quelconque)
- coût informatique négligeable : **prétraitement**
- prise en compte des **conditions de saut** et de la **position** de  $\alpha$

Propriétés :

- cas limite  $\rho_0 = \rho_1, c_0 = c_1, k \geq s \Rightarrow \mathbf{U}_i^* = \mathbf{U}_i^n$   
 $\Rightarrow$  schéma en milieu homogène
- inversibilité des matrices :  $\forall k, \det \mathbf{M} \neq 0$
- **erreur locale de troncature** : schéma d'ordre  $r +$  méthode d'interface  $k$   
 $\Rightarrow$  ordre  $r$  aux points irréguliers si  $2k - 1 \geq r$   
 exemple : ADER 4 ( $s = 2, r = 4$ ),  $\mathbf{U}_0 \in C^4(\mathbb{R}) \Rightarrow k = 3$   
 Gustafsson (1975) :  $k = 2$  suffit
- **stabilité** : analyse par modes normaux (GKS 1972, Trefethen 1983)  
 analyse automatique / CNS de stabilité / pas d'expression théorique  
 études paramétriques : stabilise les schémas, OK avec matériaux usuels

## Eau / acier :

- ADER 4, CFL = 0.9, sinusoïde tronquée de fréquence centrale 40 Hz
- **GKS-instable** sans méthode d'interface
- **GKS-stable** avec méthode d'interface,  $\forall \alpha, k = 1,2,3$
- convergence d'**ordre 4** mesurée si  $k = 2$  ou  $k = 3$

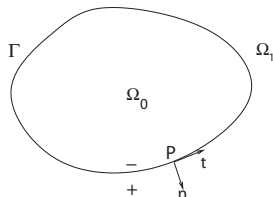


## Troisième partie III

# Fluide-solide 2D

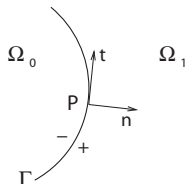
Impression générale :

- même principe qu'en 1D, en + lourd !
- on n'insiste ici que sur les nouveautés

Configurations

- **fluide** parfait au repos, **solide** élastique isotrope
- propriétés constantes par morceaux de part et d'autre de  $\Gamma$
- représentation **paramétrique**  $\Gamma: (x(\tau), y(\tau)) \in C^q(\mathbb{R}), q \geq 1$
- vecteurs tangentiel  $\mathbf{t}$  et normal  $\mathbf{n}$

$$\mathbf{t} = {}^T (x', y'), \quad \mathbf{n} = {}^T (-y', x')$$

Conditions de saut

- 2 conditions de saut + 1 condition aux limites

$$[\mathbf{v} \cdot \mathbf{n}] = 0, \quad (\boldsymbol{\sigma} \cdot \mathbf{n}) \cdot \mathbf{n} = -p, \quad (\boldsymbol{\sigma} \cdot \mathbf{n}) \cdot \mathbf{t} = 0$$

- écriture matricielle  $\mathbf{U}_i^k = \lim_{M \rightarrow P, M \in \Omega_i} \left( \mathbf{U}, \frac{\partial}{\partial x} \mathbf{U}, \dots, \frac{\partial^k}{\partial y^k} \mathbf{U} \right)$
- conditions **de saut** d'ordre 0 :  $\mathbf{C}_1^0 \mathbf{U}_1^0 = \mathbf{C}_0^0 \mathbf{U}_0^0$
- conditions **aux limites** d'ordre 0 :  $\mathbf{L}_0^0 \mathbf{U}_0^0 = \mathbf{0}, \quad \mathbf{L}_1^0 \mathbf{U}_1^0 = \mathbf{0}$
- systèmes **sous-déterminés**



Dérivation de conditions de saut :

- dérivations : par rapport à  $t$  (+ lois de conservation)  
par rapport à  $\tau$  (+ fonction composée  $f(x(\tau), y(\tau))$ )
- exemple :  $\mathbf{L}_1^0 \mathbf{U}_1^0 = \mathbf{0}$

$$\left. \begin{aligned} \frac{\partial}{\partial t} (\mathbf{L}_1^0 \mathbf{U}_1^0) &= \mathbf{L}_1^0 \frac{\partial}{\partial t} \mathbf{U}_1^0 = \mathbf{0} \\ &= -\mathbf{L}_1^0 \mathbf{A}_1 \frac{\partial}{\partial x} \mathbf{U}_1^0 - \mathbf{L}_1^0 \mathbf{B}_1 \frac{\partial}{\partial y} \mathbf{U}_1^0 \\ \frac{d}{d\tau} (\mathbf{L}_1^0 \mathbf{U}_1^0) &= \left( \frac{d}{d\tau} \mathbf{L}_1^0 \right) \mathbf{U}_1^0 + \mathbf{L}_1^0 \frac{\partial}{\partial \tau} \mathbf{U}_1^0 = \mathbf{0} \\ &= \left( \frac{d}{d\tau} \mathbf{L}_1^0 \right) \mathbf{U}_1^0 + \mathbf{L}_1^0 \left( x' \frac{\partial}{\partial x} \mathbf{U}_1^0 + y' \frac{\partial}{\partial y} \mathbf{U}_1^0 \right) \end{aligned} \right\} \Rightarrow \mathbf{L}_1^1 \mathbf{U}_1^1 = \mathbf{0}$$

- écriture à l'ordre  $m \geq 1$

$$\mathbf{C}_1^m \mathbf{U}_1^m = \mathbf{C}_0^m \mathbf{U}_0^m, \quad \mathbf{L}_i^m \mathbf{U}_i^m = \mathbf{0}, \quad i = 0, 1$$

- calcul formel conseillé !
- prise en compte de la **courbure** et de ses dérivées

Conditions de compatibilité

- relations entre certaines dérivées spatiales, **en tout point**
- $\Omega_i$  fluide:  $\nabla \wedge \mathbf{v} = \mathbf{0}$

$$\frac{\partial^n v_1}{\partial x^{n-i-1} \partial y^{i+1}} - \frac{\partial^n v_2}{\partial x^{n-i} \partial y^i} = 0, \quad i = 0, \dots, n-1$$

- $\Omega_i$  solide: relations de Barré de Saint-Venant (CNS de symétrie de  $\sigma$ )

$$\alpha_2 \frac{\partial^n \sigma_{11}}{\partial x^{n-i} \partial y^i} + \alpha_1 \frac{\partial^n \sigma_{22}}{\partial x^{n-i} \partial y^i} - \frac{1}{\mu} \frac{\partial^n \sigma_{12}}{\partial x^{n-i-1} \partial y^{i+1}}$$

$$+ \alpha_1 \frac{\partial^n \sigma_{11}}{\partial x^{n-i-2} \partial y^{i+2}} + \alpha_2 \frac{\partial^n \sigma_{22}}{\partial x^{n-i-2} \partial y^{i+2}} = 0, \quad i = 0, \dots, n-2$$

avec

$$\alpha_1 = \frac{\lambda + 2\mu}{4\mu(\lambda + \mu)}, \quad \alpha_2 = -\frac{\lambda}{4\mu(\lambda + \mu)}$$

- écriture matricielle **à l'interface**

$$\mathbf{U}_i^m = \mathbf{G}_i^m \mathbf{V}_i^m$$

- réduction du nombre d'inconnues

## Résolution des conditions d'interface

- but : exprimer  $\mathbf{U}_1^m$  en fonction de  $\mathbf{U}_0^m$
- résumé :

$$(A) \quad \mathbf{C}_1^m \mathbf{U}_1^m = \mathbf{C}_0^m \mathbf{U}_0^m$$

$$(B) \quad \mathbf{L}_i^m \mathbf{U}_i^m = \mathbf{0}, \quad i = 0,1$$

$$(C) \quad \mathbf{U}_i^m = \mathbf{G}_i^m \mathbf{V}_i^m, \quad i = 0,1$$

- un peu d'algèbre :  $\mathbf{W}_i^m$  ensemble minimal indépendant

$$(B) \text{ et } (C) \Rightarrow \mathbf{L}_i^m \mathbf{G}_i^m \mathbf{V}_i^m = \mathbf{0} \Rightarrow \mathbf{V}_i^m = \mathbf{K}_i^m \mathbf{W}_i^m$$

$$(A) \text{ et } (C) \Rightarrow \mathbf{C}_1^m \mathbf{G}_1^m \mathbf{K}_1^m \mathbf{W}_1^m = \mathbf{C}_0^m \mathbf{G}_0^m \mathbf{K}_0^m \mathbf{W}_0^m$$

$$\Rightarrow \mathbf{S}_1^m \mathbf{W}_1^m = \mathbf{S}_0^m \mathbf{W}_0^m$$

$$\Rightarrow \text{système sous-déterminé } p \times q, p < q$$

- résolution par **décomposition en valeurs singulières**

$$\mathbf{W}_1^m = \left( (\mathbf{S}_1^m)^{-1} \mathbf{S}_0^m \mid \mathbf{R}_{S_1}^m \right) \begin{pmatrix} \mathbf{W}_0^m \\ \boldsymbol{\Lambda}^m \end{pmatrix}$$

### Principe :

- idem qu'en 1D : points réguliers / points **irréguliers**
- modification des valeurs numériques utilisées par le stencil aux points irréguliers
- prolongements réguliers de  $\mathbf{U}(x, y, t_n)$  à partir des **conditions d'interface**
- mêmes remarques et propriétés qu'en 1D

### Prétraitement : ( $\sim 1$ minute pour $1000 \times 1000$ points)

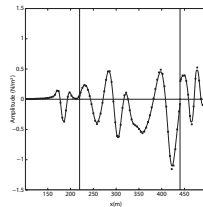
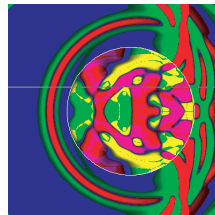
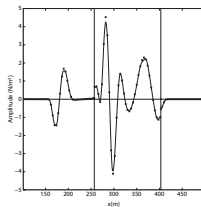
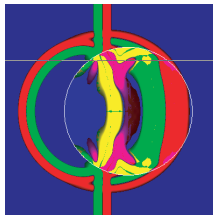
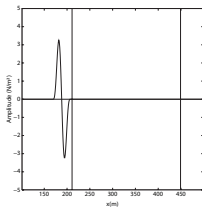
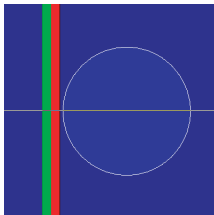
- recherche et stockage des **points irréguliers**
- en chaque point irrégulier  $M$ 
  - déterminer la projection orthogonale  $P$  de  $M$  sur  $\Gamma$
  - calculer les matrices de conditions d'interfaces
  - calculer (SVD) et stocker les "**matrices d'extrapolation**"

### A chaque pas de temps : (surcoût $< 1$ %)

- calculer toutes les valeurs modifiées
- appliquer le schéma classique aux points réguliers
- appliquer le **schéma modifié** aux points irréguliers

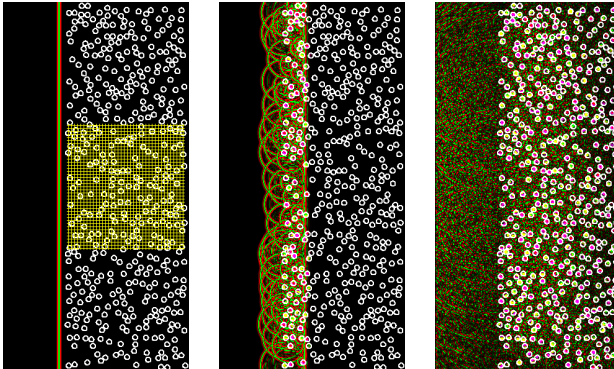
## Onde plane sur interface fluide-solide :

- eau / plexiglass
- comparaison avec solution analytique
- Lombard, Piraux: J. Comput. Phys., 2004



## Onde plane sur multidiffuseurs élastiques

- tiges d'**acier** dans l'**eau**: diamètre 0.8 mm, fréquence 3 MHz, concentration surfacique 0.38
- grille  $6000 \times 3000$ , 20000 pas de temps
- coopération avec le LCPC (Nantes) et l'IRMAR (Rennes)
- comparaison avec théories de multidiffusion (**ISA**)



## Quatrième partie IV

# Catalogue

Modélisation :

- conditions classiques entre solides : contact parfait soudé

$$[u_N] = 0, \quad [u_T] = 0, \quad [\sigma_N] = 0, \quad [\sigma_T] = 0$$

- généralisation : **conditions de masse-ressort**

$$\begin{aligned} [u_N] &= \frac{1}{K_N} \sigma_N^-, & [\sigma_N] &= M_N \frac{\partial^2}{\partial t^2} u_N^- \\ [u_T] &= \frac{1}{K_T} \sigma_T^-, & [\sigma_T] &= M_T \frac{\partial^2}{\partial t^2} u_T^- \end{aligned}$$

- cas-limites :

$$K_{N,T} \rightarrow +\infty, M_{N,T} = 0 \Rightarrow \text{contact parfait soudé}$$

$$K_N \rightarrow +\infty, K_T \rightarrow 0, M_{N,T} = 0 \Rightarrow \sigma_T^\pm = 0 \Rightarrow \text{glissement sans frottements}$$

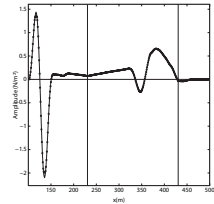
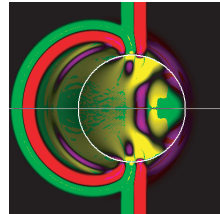
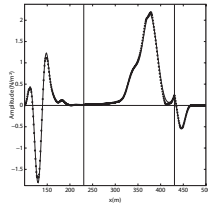
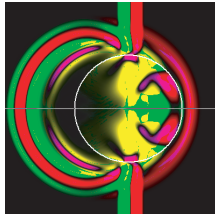
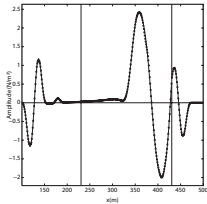
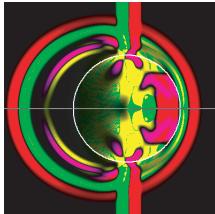
$$K_{N,T} \rightarrow 0, M_{N,T} = 0 \Rightarrow \sigma_{N,T}^\pm = 0 \Rightarrow \text{décollement}$$

- justification théorique : longueur d'onde grande devant interphase
- validation expérimentale : Pyrak-Nolte (1990)
- limitation : autorisation d'une **interpénétration**



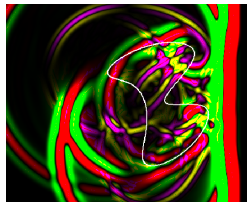
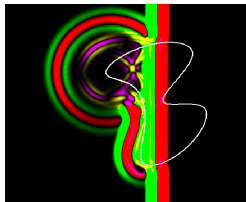
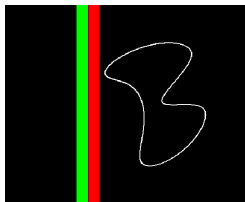
## Expérience numérique 1/2:

- plexiglass / aluminium, pour différents contacts ( $K_N$ )
- géométrie académique  $\Rightarrow$  solution analytique
- Lombard, Piraux: SISC 2003 (1D), SISC 2006 (2D)



### Expérience numérique 2/2:

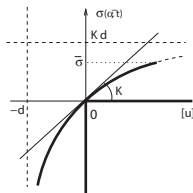
- plexiglass-plexiglass avec contact imparfait
- géométrie quelconque : **spline cubique**
- conversion d'ondes dues uniquement aux conditions de saut



Modélisation :

- joints de fracture sèche
- études expérimentales : Goodman 1974, **Bandis-Barton** 1983-85

$$\Rightarrow [u(\alpha, t)] = \frac{1}{K} \frac{\sigma(\alpha^-, t)}{1 - \frac{\sigma(\alpha^-, t)}{Kd}}, \quad [\sigma(\alpha, t)] = 0$$



- réponse mécanique **non linéaire** ( $\sigma_N \nearrow$  : nombre d'aspérités en contact  $\nearrow$ )
- cas-limites

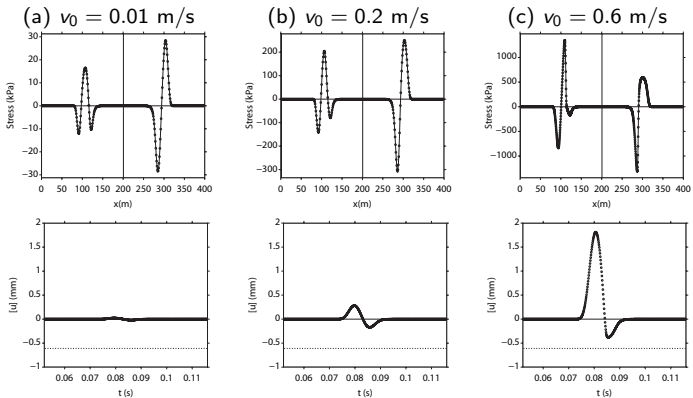
$\sigma(\alpha^-, t) \ll Kd \Rightarrow$  **modèle linéaire** tangent

$d \rightarrow 0 \Rightarrow$  **contact unilatéral** (graphe non différentiable)

- Lombard-Piriaux, JCAM (2007): analyse mathématique + simulations

## Expérience numérique :

- plexiglass homogène,  $d = 6.1 \cdot 10^{-4}$  m
- étude paramétrique en fonction de l'amplitude  $v_0$  incidente
- (a) : cf modèle **linéaire**
- (c) :  $\min([u]) \rightarrow -d^+$



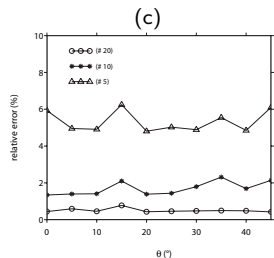
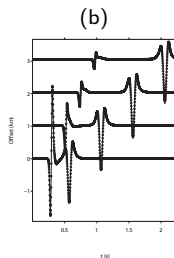
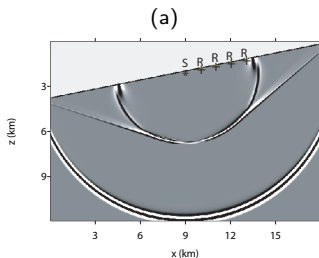
Modélisation :

- conditions de Dirichlet  $\Rightarrow$  matrice **L**
- solide élastique isotrope, 2D
- approche implicite : **vacuum** (Kelly 1976, Virieux 1986)  
 $\Rightarrow$  perte de précision si angle entre maillage et interface, instabilités
- approche explicite : **image method** (Kelly 1976, Levander 1988)  
 $\Rightarrow$  diffractions parasites, difficulté de mise en oeuvre
- Lombard-Piroux-Gélis-Virieux, Geophys. J. Int (2007)  
50 longueurs d'onde de propagation

$$\left\{ \begin{array}{l} 10 \text{ pts} / \lambda_{\min} \Rightarrow \text{TB} \\ 5 \text{ pts} / \lambda_{\min} \Rightarrow \text{OK} \end{array} \right.$$

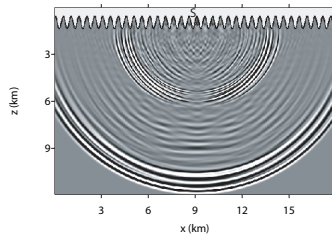
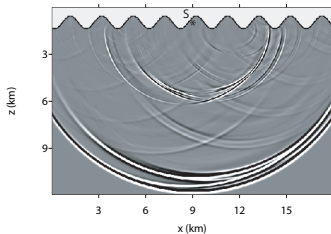
## Expérience numérique 1/2:

- domaine  $18 \text{ km} \times 12 \text{ km}$ ,  $h=10 \text{ m}$ ,  $f_c = 24 \text{ Hz}$
- surface libre plane inclinée de  $\theta$ , point source enfoui (a)
- solution analytique: Cagniard-de Hoop (b)
- étude paramétrique (c): **erreur indépendante de  $\theta$**



## Expérience numérique 2/2:

- surface libre sinusôïdale
- point source enfoui
- amplitude: 800 m, longueurs d'onde de la sinusoïde: 0.5 km, 2 km



Modélisation :

- **Biot basse-fréquence** 1D

$$f \ll f_c = \frac{\eta \phi}{2 \pi a \kappa \rho_f}$$

- coefficients indépendants de  $f$  ( $\eta/\kappa = \text{Cte}$ )
- système hyperbolique avec terme source

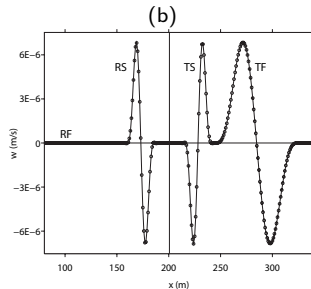
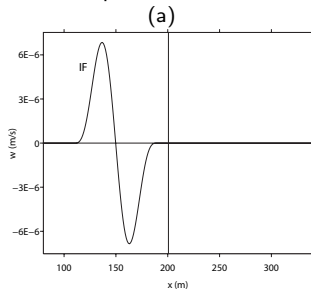
$$\frac{\partial}{\partial t} \mathbf{U} + \frac{\partial}{\partial x} \mathbf{A} \mathbf{U} = -\mathbf{S} \mathbf{U}$$

- 1 onde de compression rapide
- 1 onde de cisaillement lente, diffusive et statique si  $f < f_c$
- difficulté 1 : système raide (condition CFL  $\searrow$ )  
⇒ Strang **splitting**
- difficulté 2 : échelle d'évolution de l'onde lente  
⇒ **raffinement de maillage spatio-temporel**
- Chiavassa-Lombard-Piroux (2007) : soumis à JCAM
- 2D en cours : outils testés indépendamment



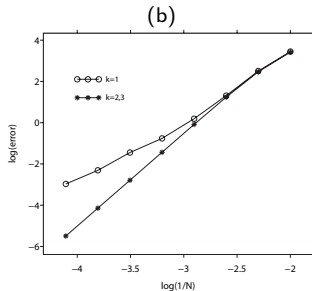
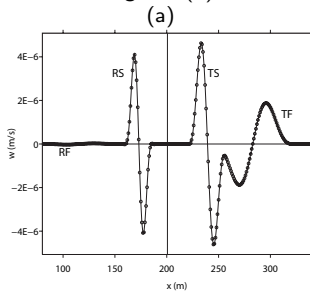
### Expérience numérique 1/4 :

- grès saturé d'eau, **contact hydraulique imparfait** :  $[p] \neq 0$
- comparaison avec solution analytique
- schéma seul  $\Rightarrow$  pas d'onde diffractée ...



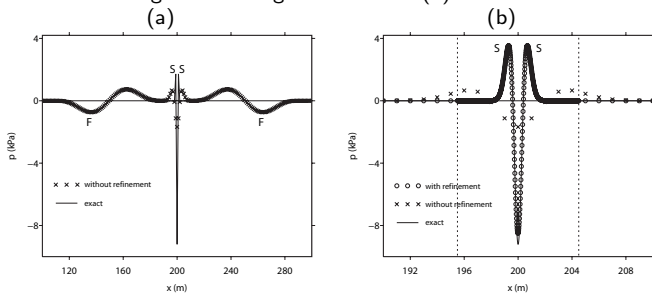
Expérience numérique 2/4 :

- grès + eau ( $\eta = 0$ ) / schiste + eau ( $\eta = 0$ )
- pas de méthode d'interface (a): **GKS-instable**
- mesures de convergence (b):  $k = 2$  ou  $k = 3 \Rightarrow$  **ordre 4**



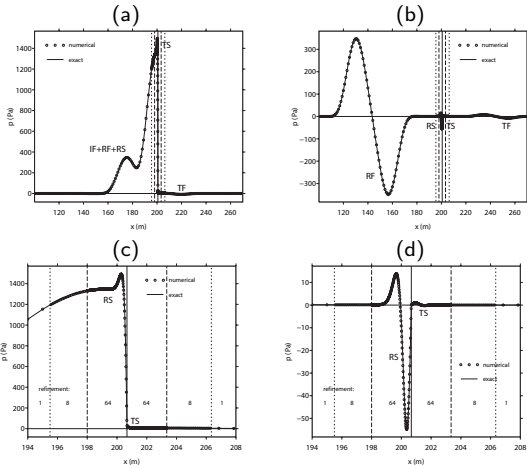
## Expérience numérique 3/4 :

- grès + eau ( $\eta = 10^{-3}$  Pa.s)
- source ponctuelle de contrainte  $f = 30$  Hz  $\ll f_c = 25$  kHz
- **diffusion de l'onde lente**, mal capturée (a)
- raffinement de maillage au voisinage de la source (b)



## Expérience numérique 4/4 :

- grès + eau ( $\eta = 10^{-3}$  Pa.s) / grès + gaz ( $\eta = 2.2 \cdot 10^{-5}$  Pa.s)
- raffinement  $\times 8$  et  $\times 64$  autour de l'interface
- **forte amplitude** des ondes lentes diffusives



## Cinquième partie V

### Conclusion

Bilan :

- méthode numérique pour "prendre en compte" les interfaces
- modification locale de schémas classiques

Avantages :

- description géométrique précise sur **maillage cartésien** (courbure, ...)
- **précision** des schémas maintenue en présence de discontinuités
- surcoût informatique négligeable
- description **physique** précise

Inconvénients :

- stabilité pas assurée **a priori**
- pas de singularités géométriques : **coins**, intersections ...

Poroélasticité:

- Biot BF 2D (en cours)
- Biot HF 1D-2D : **dérivées fractionnaires**

Codes:

- 3D
- **parallélisation**

Contact non linéaire:

- cisaillement 1D
- **fracturation dynamique** (Ben Jemaa 2007)

`http://w3lma.cnrs-mrs.fr/~MI/`